

# 计算 MOS 器件应力的简单方法

黄庆安 童勤义

(东南大学微电子中心,南京 210018)

**摘要** 本文根据  $\text{SiO}_2$  薄膜的边缘力集中近似模型, 求出了硅 MOS 器件中的应力场。计算结果与 K. Kobayashi (1990) 进行的 Raman 谱测量结果吻合较好。

**关键词** MOS 器件; 机械应力; Raman 谱法

## 一、引言

MOS 器件按比例缩小是提高集成电路集成度和性能的主要途径之一<sup>[1]</sup>。但较小的器件尺寸会使 MOS 有源区的应力增大。这种应力对器件的影响有两种不同的形式:(1)器件制作过程中的应力会产生缺陷<sup>[2,3]</sup>;(2)器件制成功后残余的应力会导致 n-MOSFET 的迁移率降低<sup>[4,5]</sup>。因此,近年来, MOS 器件中应力场的计算及工艺控制措施得到了人们的普遍重视<sup>[6-8]</sup>。由于 MOS 器件中应力的相对复杂性,这些计算均是以数值模型为基础的,且这些模型强调了硅氧化工艺过程中的应力产生,很少涉及氧化物中的残余应力在衬底中诱致的应力场。本文根据  $\text{SiO}_2$  薄膜的边缘力集中近似模型,求出了由于  $\text{SiO}_2$  中的残余机械应力在硅衬底中产生的应力场。本文的计算结果与 K. Kobayashi 等人<sup>[9]</sup>进行的 Raman 谱应力测量的结果吻合较好。

## 二、应力场的计算

### 1. $\text{SiO}_2$ 薄膜中的应力分布

在 MOS 集成电路中,  $\text{SiO}_2$  常作为栅介质(氧化工艺)和隔离介质(硅的局部氧化 LOCOS 工艺)。为使问题处理方便, 我们把这两种介质结构简化为图 1 所示的情况。图中 L 表示  $\text{SiO}_2$  膜相对两边缘间的距离,  $d_f$  表示  $\text{SiO}_2$  的厚度。

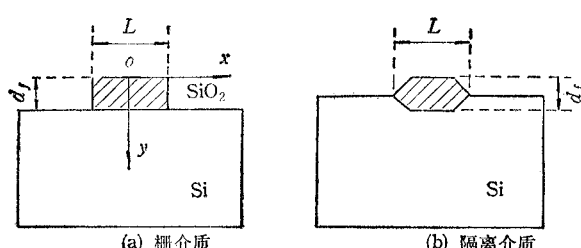


图 1  $\text{SiO}_2$  薄膜与硅衬底的作用

热氧化  $\text{SiO}_2$  栅介质中的应力来源于  $\text{SiO}_2$  与硅的热膨胀失配。LOCOS  $\text{SiO}_2$  中的应力来源于  $\text{SiO}_2$

与硅的热膨胀失配及硅氧化成  $\text{SiO}_2$  的体积膨胀<sup>[6-8]</sup>。在远离  $\text{SiO}_2$  边缘时， $\text{SiO}_2$  薄膜中的应力几乎是均匀的，并用  $\sigma_f$  来表示，

$$\sigma_f = E_f \Delta \alpha \Delta T \quad (1)$$

式中  $E_f$  是  $\text{SiO}_2$  的杨氏模量， $\Delta \alpha$  是硅与  $\text{SiO}_2$  的热膨胀系数差， $\Delta T$  是  $\text{SiO}_2$  生长时的温度与环境温度差。但在集成电路中，有源器件往往处于  $\text{SiO}_2$  薄膜的边缘。根据弹性力学知道，在薄膜的不连续处应力强烈地集中<sup>[10]</sup>。这种应力的集中会在衬底中诱致较强的应力场，使器件性能受到影响。

Aleck 和 Zeyfang 等人<sup>[11,12]</sup>已计算了无限大衬底上薄膜的应力分布。图 2(a), 2(b) 和 2(c) 分别画出了薄膜和衬底界面处，薄膜中平行于界面的应力  $\sigma_x$ ，垂直于界面的应力  $\sigma_y$  和剪切应力  $\sigma_{xy}$  的分布(所用数据  $L/2d_f = 5$ , 泊松比  $\nu = 0.25$ )<sup>[13]</sup>。从图 2 中可以看

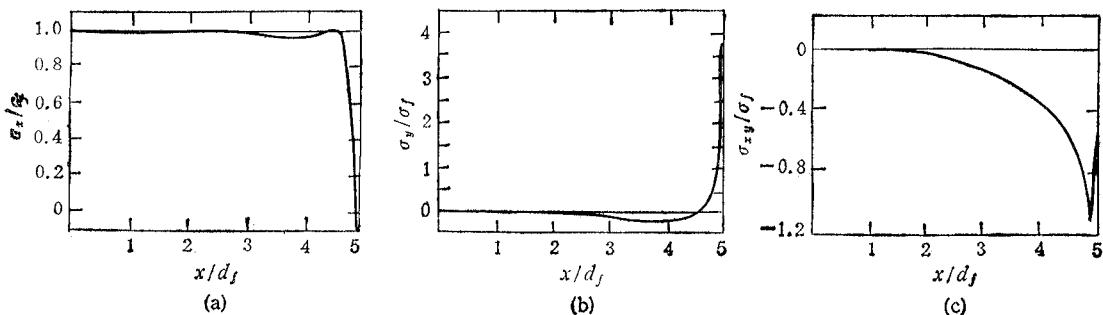


图 2 薄膜中各应力分量的分布

出，在边缘附近，垂直于界面的应力  $\sigma_y$  大约是薄膜应力的 4 倍，剪应力  $\sigma_{xy}$  大约是薄膜应力的 1.2 倍，这两种应力在远离边缘以后，都衰减为零；而平行于界面的应力  $\sigma_x$  在远离边缘后，等于薄膜的应力  $\sigma_f$ 。

根据弹性力学可知<sup>[10]</sup>，只有界面处  $\text{SiO}_2$  中的剪应力  $\sigma_{xy}$  及垂直于界面的应力  $\sigma_y$  才对衬底产生影响。通常  $\text{SiO}_2$  薄膜的厚度相对于衬底是较薄的；同时  $\sigma_y$  及  $\sigma_{xy}$  又主要集中在薄膜的边缘附近，所以，可把薄膜中的应力近似为集中在边缘。为了得到这种边缘集中力，将  $\sigma_{xy}$  沿界面方向从边缘向中心积分。积分的结果表明，单位薄膜宽度的总集中力  $P$  平行于界面，且精度在 10% 内时，可表达为<sup>[13]</sup>

$$P = \sigma_f d_f \quad (2)$$

而在相同精度内，垂直于界面的应力  $\sigma_y$  积分结果为零。这种处理方法称为边缘力集中近似，在  $L/2d_f \geq 5$  时，精度较好<sup>[13]</sup>。

## 2. 硅衬底中的应力场

图 3 给出了计算硅衬底中应力场的参考坐标系。通常 MOSFET 栅的宽度( $z$  方向)远大于栅的长度( $y$  方向)，因此，可归结为二维问题。若假定硅是弹性各向同性的，则衬底中各应力分量满足的基本方程为<sup>[10]</sup>

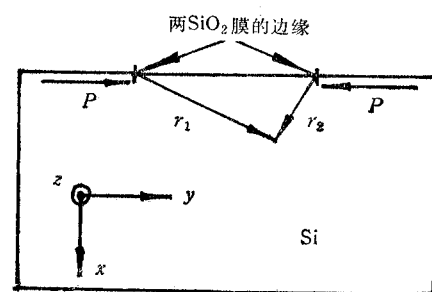


图 3 计算硅衬底中应力场的参考坐标系

$$\left. \begin{aligned} \frac{\partial \sigma_{xx}}{\partial x} + \frac{\partial \sigma_{yy}}{\partial y} &= 0 \\ \frac{\partial \sigma_{xy}}{\partial x} + \frac{\partial \sigma_{yx}}{\partial y} &= 0 \\ \nabla^2(\sigma_{xx} + \sigma_{yy}) &= 0 \\ \sigma_{zz} &= \nu(\sigma_{xx} + \sigma_{yy}) \end{aligned} \right\} \quad (3)$$

式中  $\nu$  是硅的泊松比。硅的 3 个独立的弹性常数是  $C_{11} = 1.657 \times 10^7$ ,  $C_{12} = 0.639 \times 10^7$  和  $C_{44} = 0.796 \times 10^7 \text{ N/cm}$ , Voigt 平均剪切模量  $\mu$  及 Lame 常数  $\lambda$  可由下式求出:

$$H = 2C_{44} + C_{12} - C_{11}$$

$$\mu = C_{44} - H/5$$

$$\lambda = C_{12} - H/5$$

而泊松比

$$\nu = \lambda/[2(\mu + \lambda)] = 0.23$$

若用上节的边缘力集中近似, 容易求出应力的各分量为<sup>[10]</sup>

$$\left. \begin{aligned} \sigma_{xx} &= -(2d_f\sigma_f/\pi)(y_1x^2/r_1^4 - y_2x^2/r_2^4) \\ \sigma_{yy} &= -(2\sigma_f d_f/\pi)(y_1^3/r_1^4 - y_2^3/r_2^4) \\ \sigma_{xy} &= -(2\sigma_f d_f/\pi)(y_1^2x/r_1^4 - y_2^2x/r_2^4) \\ \sigma_{zz} &= -(2\nu\sigma_f d_f/\pi)(y_1/r_1^2 - y_2/r_2^2) \end{aligned} \right\} \quad (4)$$

其余的应力分量  $\sigma_{xz} = \sigma_{yz} = 0$ 。式中  $r_1^2 = x^2 + y_1^2$ ,  $r_2^2 = x^2 + y_2^2$ ,  $y_1 + y_2 = L$ 。

图 4(a), 4(b), 4(c) 和 4(d) 分别给出了硅衬底中各应力分量在  $x = 0.1 \mu\text{m}$  处的分布(计算所用数据为  $L = 10 \mu\text{m}$ ,  $d_f = 0.2 \mu\text{m}$ ,  $\sigma_f = 5 \times 10^4 \text{ N/cm}^2$ )。由此可以看出,

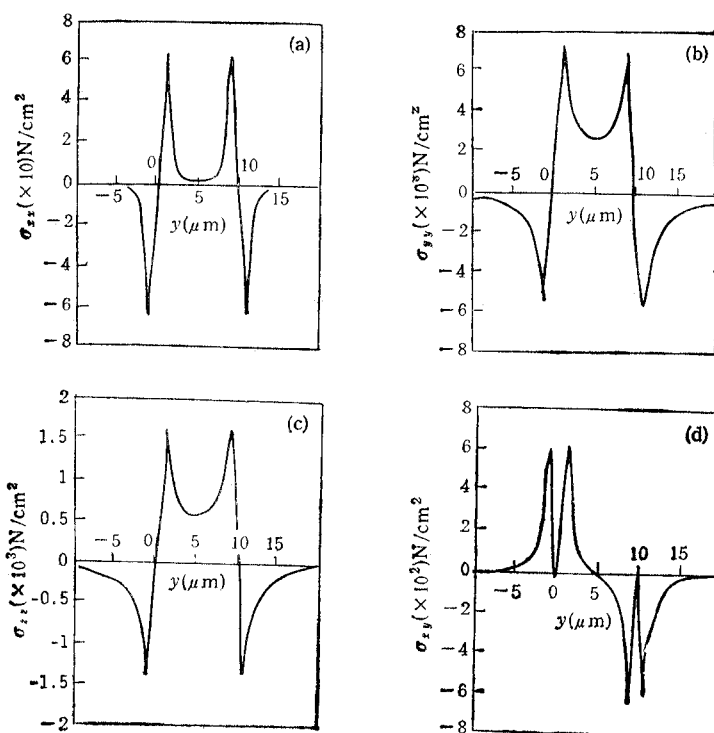


图 4 硅衬底中各应力分量的分布 ( $x = 0.1 \mu\text{m}$ )

剪切应力  $\sigma_{xy}$  在  $L$  区内的大部分区域接近于零，仅在边缘附近较大。这一点已经有实验证实<sup>[14]</sup>。垂直于界面的应力  $\sigma_{yy}$  在  $L$  区内的绝大部分也接近于零，而平行于界面的应力  $\sigma_{yy}$  和  $\sigma_{zz}$  在  $L$  区内较大。若  $L$  很小，如  $1 \mu\text{m}$ ，则  $L$  区内的应力几乎达到了  $\text{SiO}_2$  中应力的值；同时因为在  $L$  区内的大部分区域， $\sigma_{yy}$  和  $\sigma_{zz}$  较小，而  $\sigma_{yy}$  和  $\sigma_{zz}$  较大，且二者比较接近；所以，可以近似认为  $L$  区内的应力——应变在平行于界面的方向发生。

### 三、与 Raman 谱测量结果的比较

硅无应变时，波矢  $\mathbf{K} = 0$  的光学声子是三重简并的。当存在无轴或二维应变时，若应力平行于(001)方向， $\mathbf{K} = 0$  光学声子的三重简并分裂成  $\mathbf{K}$  平行于应力的单线及  $\mathbf{K}$  垂直于应力的双线<sup>[15]</sup>。若入射光及散射光沿(110)轴偏振，则按 Raman 选择定则，仅能观察到单线，且 Raman 频率偏移  $\Delta\omega$  与应力  $T$  呈线性关系<sup>[15]</sup>

$$T \approx 2.49 \times 10^4 \Delta\omega \quad (\text{N/cm}^2) \quad (5)$$

若由于应力作用使 Raman 频率向低偏移， $\Delta\omega < 0$ ，则为张应力；Raman 频率向高偏移， $\Delta\omega > 0$  则为压应力。

由于 Raman 测量的结果反映的是某一深度内的平均应力，如  $488\text{nm}$  线，在硅中穿透深度大约是  $0.7 \mu\text{m}$ 。而(4)式表述了某一深度处的应力，为了便于比较，下面给出了  $\sigma_{yy}$  沿深度方向的平均值  $\bar{\sigma}_{yy}$ ，

$$\begin{aligned} \bar{\sigma}_{yy} &= \frac{1}{x} \int_0^x \sigma_{yy} dx \\ &= -\frac{2\sigma_0 d_f}{\pi} \left[ \frac{y_1}{x^2 + y_1^2} + \frac{1}{2x} \frac{y_1}{|y_1|} \arctg\left(\frac{x}{|y_1|}\right) \right. \\ &\quad \left. - \frac{y_2}{x^2 + y_2^2} - \frac{1}{2x} \frac{y_2}{|y_2|} \arctg\left(\frac{x}{|y_2|}\right) \right] \end{aligned} \quad (6)$$

图 5(a), 5(b) 和 5(c) 分别给出了 LOCOS 工艺生长的  $\text{SiO}_2$ ,  $d_f = 0.68 \mu\text{m}$ , 不同  $L$  下 ( $L = 1.2 \mu\text{m}, 2.2 \mu\text{m}, 9.2 \mu\text{m}$ ) Raman 谱测出的应力分布<sup>[9]</sup>。同时也给出了按

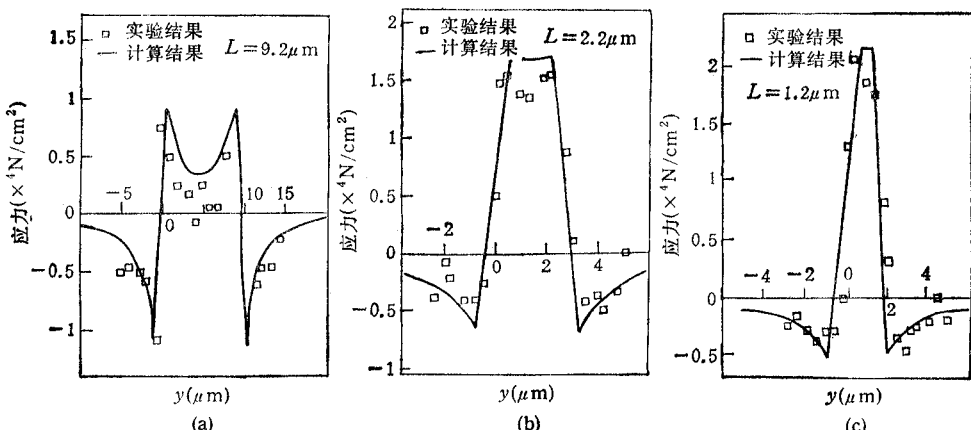


图 5 不同  $L$  下，硅衬底中应力分布 Raman 测量结果<sup>[9]</sup>与本文计算结果的比较

(6)式计算的应力分布 ( $\sigma_f = 5 \times 10^4 \text{ N/cm}^2$ )。从图中可以看出, 计算与实验吻合较好。

#### 四、讨论和结论

$\text{SiO}_2$  中的残余机械应力会引起 MOS 迁移率降低, 因此, 研究这种结构中的应力对器件设计具有重要意义。本文根据边缘力集中近似模型, 给出了硅衬底中应力分布的简单表达式。

随着  $L$  的缩短, 有源区应力明显增大, 本文这一推论与已有实验结果吻合较好。由于缩短栅的长度是 MOS 集成电路的主要发展方向, 因此, 根据本文计算的结果认为, 若要减小器件中的应力, 应优化  $\text{SiO}_2$  的生长工艺, 使之应力减小; 减薄  $\text{SiO}_2$  厚度, 也可明显减小有源区中的应力<sup>[16]</sup>。

由于本文采用了边缘力集中近似, 即把薄膜中的应力集中在边缘, 使问题大为简化。但由此计算的结果稍大于实测的值。考虑到  $\text{SiO}_2$  薄膜中应力分布的情况, 计算硅衬底中的应力分布尚需进一步研究。

本文给出的 MOS 器件的应力模型简单、可靠, 可望在进一步研究与应力有关的问题时得到应用。

#### 参 考 文 献

- [1] 童勤义, 超大规模集成物理学导论, 电子工业出版社, 北京, 1988年。
- [2] A. Bohg et al., *Appl. Phys. Lett.*, **33**(1978)6, 895—897.
- [3] Y. Tamaki et al., *J. Electrochem. Soc.*, **130**(1983) 10, 2266—2270.
- [4] H. Mikoshiba, *Solid State Electron.*, **24**(1981)3, 221—225.
- [5] J. Mitsuhashi, Mechanical stress and hydrogen effects on hot carrier injection, *Proc. IEDM, USA*, (1986), pp. 386—389.
- [6] D. J. Chin et al., *IEEE Trans. on ED*, **ED-30**(1983)7, 744—749.
- [7] H. Matsumoto et al., *IEEE Trans. on ED*, **ED-32**(1985)2, 132—140.
- [8] D. B. Kao et al., *IEEE Trans. on ED*, **ED-35**(1988)1, 25—37.
- [9] K. Kobayashi et al., *J. Electrochem. Soc.*, **137**(1990)6, 1987—1989.
- [10] 钱伟长, 叶开原, 弹性力学, 科学出版社, 北京, 1956年, 第五章。
- [11] R. Zeyfang, *Solid State Electron.*, **14**(1979)9, 1035—1039.
- [12] I. A. Blech et al., *ASME J. Appl. Mech.*, **48**(1981)6, 442—445.
- [13] H. Booyens et al., *J. Appl. Phys.*, **54**(1983)10, 5779—5784.
- [14] E. P. EerNisse, *Appl. Phys. Lett.*, **35**(1979)8, 8—10.
- [15] E. Anastasaki et al., *Solid State Communication*, **8**(1970)2, 133—135.
- [16] 黄庆安, 童勤义, MOSFET 的机械应力模型, 第七届全国半导体集成技术与硅材料学术年会, 成都, 1991年, 第97—98页。

#### A SIMPLE APPROACH TO THE CALCULATION OF THE MECHANICAL STRESS IN SILICON DEVICES

Huang Qinan Tong Qinyi

(Microelectronics Center, Southeast University, Nanjing 210018)

**Abstract** The residual mechanical stress in  $\text{SiO}_2$  films results in the degradation of mobilities in MOSFETs. Based on the edge force approximation in  $\text{SiO}_2$  films, the stress field in MOS device is obtained. The results here are in agreement with those measured by the Raman spectrum method.

**Key words** MOS device; Mechanical stress; Raman spectrum method